



GOBIERNO
DE ESPAÑA

MINISTERIO
PARA LA TRANSICIÓN ECOLÓGICA



CONFEDERACIÓN
HIDROGRÁFICA
DEL EBRO

2018

SEGUIMIENTO DE EMBALSES 2018

INFORME FINAL DEL EMBALSE DE MEZALOCHA



ÁREA DE CALIDAD DE AGUAS
CONFEDERACIÓN HIDROGRÁFICA DEL EBRO



MINISTERIO
PARA LA TRANSICIÓN ECOLÓGICA



CONFEDERACIÓN
HIDROGRÁFICA
DEL EBRO



SEGUIMIENTO DE EMBALSES 2018

PROMOTOR:

CONFEDERACIÓN HIDROGRÁFICA DEL EBRO



DIRECCIÓN DEL PROYECTO:

Vicente Sancho Tello Valls y María José Rodríguez Pérez

EMPRESA CONSULTORA:

Instituto Cavanilles de Biodiversidad y Biología Evolutiva de la Universidad de Valencia Estudi General

EQUIPO DE TRABAJO:

Área de Limnología, dirigida por Dr. Eduardo Vicente Pedrós, Catedrático de Ecología. Director del Estudio.

PRESUPUESTO DE LA ADJUDICACIÓN:

17.343,60 €

CONTENIDO:

INFORME INDIVIDUAL DEL EMBALSE DE MEZALOCHA

AÑO DE EJECUCIÓN:

2018

FECHA ENTREGA:

DICIEMBRE 2018



REFERENCIA IMÁGENES PORTADA:

Vista del embalse de Mezalocha desde el punto de acceso.

CITA DEL DOCUMENTO: Confederación Hidrográfica del Ebro (2018). Seguimiento de embalses 2018. 186 págs. más anejos. Disponible en PDF en la web: <http://www.chebro.es>

El presente informe pertenece al Dominio Público en cuanto a los Derechos Patrimoniales recogidos por el Convenio de Berna. Sin embargo, se reconocen los Derechos de los Autores y de la Confederación Hidrográfica del Ebro a preservar la integridad del mismo, las alteraciones o la realización de derivados sin la preceptiva autorización administrativa con fines comerciales, o la cita de la fuente original en cuanto a la infracción por plagio o colusión. A los efectos prevenidos, las autorizaciones para uso no científico del contenido deberán solicitarse a la Confederación Hidrográfica del Ebro.



ÍNDICE

| | Página |
|---|-----------|
| 1. INTRODUCCIÓN..... | 7 |
| 2. DESCRIPCIÓN GENERAL DEL EMBALSE Y DE LA CUENCA VERTIENTE..... | 7 |
| 2.1. <i>Ámbito geológico y geográfico</i> | 7 |
| 2.2. <i>Características morfométricas e hidrológicas</i> | 8 |
| 2.3. <i>Usos del agua</i> | 9 |
| 2.4. <i>Registro de zonas protegidas.....</i> | 9 |
| 3. TRABAJOS REALIZADOS | 10 |
| 4. DIAGNÓSTICO DE LA SITUACIÓN ACTUAL..... | 11 |
| 4.1. <i>Características físico-químicas de las aguas.....</i> | 11 |
| 4.2. <i>Hidroquímica del embalse.....</i> | 14 |
| 4.3. <i>Fitoplancton y concentración de clorofila.....</i> | 15 |
| 4.4. <i>Zooplancton.....</i> | 17 |
| 5. DIAGNÓSTICO DEL GRADO TRÓFICO | 20 |
| 6. DIAGNÓSTICO DEL POTENCIAL ECOLÓGICO | 21 |
| ANEXO I. REPORTAJE FOTOGRÁFICO | 26 |

ÍNDICE DE FIGURAS Y TABLAS

ÍNDICE DE FIGURAS CORRESPONDIENTES A GRÁFICOS Y FOTOS

| | |
|--|----|
| Figura 1. Volumen embalsado y salida durante el año hidrológico 2017-2018. | 9 |
| Figura 2. Localización de la estación de muestreo en el embalse..... | 10 |
| Figura 3. Perfil vertical de la temperatura y pH | 11 |
| Figura 4. Perfil vertical de la extinción luminosa y oxígeno disuelto | 12 |
| Figura 5. Perfil vertical de la conductividad y de la materia orgánica disuelta cromofórica | 13 |
| Figura 6. Perfil vertical de clorofila a | 27 |
| Figura 7. Vista de la presa del embalse | 27 |
| Figura 8. Vista de la cola del embalse..... | 27 |

ÍNDICE DE TABLAS

| | |
|---|----|
| Tabla 1. Características morfométricas del embalse de Mezalocha | 8 |
| Tabla 1. Concentración de los diferentes nutrientes analizados en las muestras integradas..... | 14 |
| Tabla 3. Estructura y composición de la comunidad de fitoplancton..... | 15 |
| Tabla 4. Composición detallada de la comunidad de fitoplancton..... | 16 |
| Tabla 5. Estructura y composición de la comunidad de zooplancton..... | 18 |
| Tabla 6. Composición detallada de la comunidad de zooplancton..... | 19 |
| Tabla 7. Parámetros indicadores y rangos de estado trófico. | 20 |
| Tabla 8. Diagnóstico del estado trófico del embalse de Mezalocha..... | 20 |
| Tabla 9. Parámetros y rangos para la determinación del potencial ecológico experimental. | 21 |
| Tabla 10. Combinación de los indicadores. | 22 |
| Tabla 11. Diagnóstico del potencial ecológico del embalse de Mezalocha..... | 22 |
| Tabla 12. Valores de referencia propios del tipo (VR_t) y límites de cambio de clase de potencial ecológico de los indicadores de los elementos de calidad de embalses (RD 817/2015). | 23 |
| Tabla 13. Parámetros, rangos del RCE y valores para la determinación del potencial ecológico normativo..... | 24 |
| Tabla 14. Combinación de los indicadores. | 24 |
| Tabla 15. Diagnóstico del potencial ecológico (PE_{norm}) del embalse de Mezalocha. | 25 |



1. INTRODUCCIÓN

El presente documento recoge los resultados de los trabajos realizados en el embalse de Mezalocha durante los muestreos de 2018 y la interpretación de los mismos, a efectos de proporcionar una referencia que facilite la consulta y explotación de la información obtenida.

En general, se recurre a presentaciones gráficas y sintéticas de la información, acompañadas de un texto conciso, lo que permitirá una consulta ágil y rápida del documento.

En el **Anexo I** se presenta un reportaje fotográfico que refleja el estado del embalse durante el periodo estudiado (verano 2018, correspondiente al año hidrológico 2017-2018).

En apartados sucesivos se comentan los siguientes aspectos:

- Resultados del estudio en el embalse (FASE DE CARACTERIZACIÓN) de todos los aspectos tratados (hidrológicos, fisicoquímicos y biológicos), que culminan en el diagnóstico del grado trófico.
- Clasificación del “Potencial Ecológico experimental”, tras la aplicación de los indicadores biológicos, propuestos en la MEMORIA DEL ESTUDIO, y fisicoquímicos, propuestos en la Directiva Marco del Agua.
- Clasificación del “Potencial Ecológico normativo”, tras la aplicación de los indicadores biológicos y fisicoquímicos propuestos en la Directiva Marco del Agua.

2. DESCRIPCIÓN GENERAL DEL EMBALSE Y DE LA CUENCA VERTIENTE

2.1. Ámbito geológico y geográfico

En sentido amplio, la cuenca del Embalse de Mezalocha, se enclava entre materiales del Jurásico y Cuaternario, pertenecientes a las Eras del Mesozoico y del Cenozoico.

Concretamente, del Jurásico Piso Kimmeridgiense -Malm (Fm. Ritmita calcárea de Ioriguilla y calizas con oncolitos de Higueruelas), con calizas y margocalizas y calizas con oncolitos. Y del Cuaternario con colusiones compuestos de cantos angulosos en matriz arcillosa; conos de deyección con gravas, arenas, limos y arcillas; y terrazas con cantos y gravas.

El embalse de Mezalocha se sitúa dentro del término municipal de Mezalocha en la provincia de Zaragoza. Regula las aguas del río Huerva.

2.2. Características morfométricas e hidrológicas

Se trata de un embalse de pequeñas dimensiones, de geometría alargada y ondulada.

La cuenca vertiente al embalse de Mezalocha tiene una superficie total de 620 km².

El embalse tiene una capacidad total de 3,92 hm³., que coincide con la capacidad útil. Caracterizado por una profundidad media de 10 m., siendo la profundidad máxima de 26 m.

En la tabla 1 se presentan las características morfométricas del embalse.

Tabla 1. Características morfométricas del embalse de Mezalocha

| | |
|----------------------------|----------------------|
| Capacidad total N.M.N. | 3,92 hm ³ |
| Capacidad útil | 3,92 hm ³ |
| Superficie inundada | 75 ha |
| Cota máximo embalse normal | 472,5 msnm |

Tipo de clasificación: 10. Monomíctico, calcáreo de zonas no húmedas, pertenecientes a ríos de cabecera y tramos altos.

Se trata de un embalse monomíctico, ubicado en zonas no húmedas de cabecera y tramos altos de geología calcárea. En el momento del muestreo la termoclina se sitúa entre los 3 y los 8 metros de profundidad. El límite inferior de la capa fótica se encuentra a 8,0 metros de profundidad determinado mediante medidor fotoeléctrico, mientras que el valor estimado mediante el disco de Secchi fue de 8,8 m.

El tiempo de residencia hidráulica media en el embalse de Mezalocha para el año hidrológico 2017-2018 fue de 1,17 meses.

En la figura 1 se presentan los valores diarios del volumen embalsado y salida media correspondientes al año hidrológico 2017-2018.

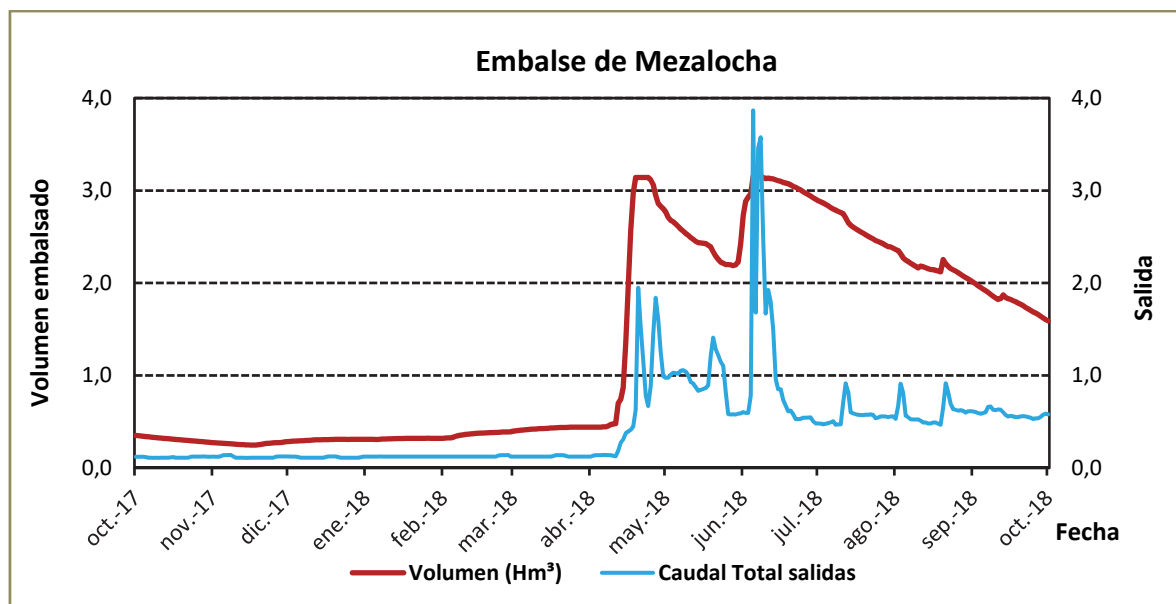


Figura 1. Volumen embalsado y salida durante el año hidrológico 2017-2018.

2.3. Usos del agua

Las aguas del embalse se destinan principalmente a los regadíos. Los usos recreativos y deportivos también son significativos, permitiéndose en este embalse la navegación a remo, no siendo apto para navegar a motor y a vela.

2.4. Registro de zonas protegidas

El embalse de Mezalocha forma parte del Registro de Zonas Protegidas elaborado por la Confederación Hidrográfica del Ebro, en contestación al artículo 6 de la Directiva Marco del Agua, en la categoría de zonas de protección de hábitat o especie (Punto Red Natura 2000: ZEPA ES0000300, Río Huerva y Las Planas).

3. TRABAJOS REALIZADOS

Para acometer la caracterización del embalse se ha ubicado una estación de muestreo en las inmediaciones de la presa (ver figura 2). Se ha completado una campaña de muestreo el 3 de Julio de 2018, en la que se midieron *in situ* los parámetros físico-químicos y la transparencia en la columna de agua, se tomó una muestra de agua integrada para los análisis químicos y se realizaron muestreos de fitoplancton y zooplancton.

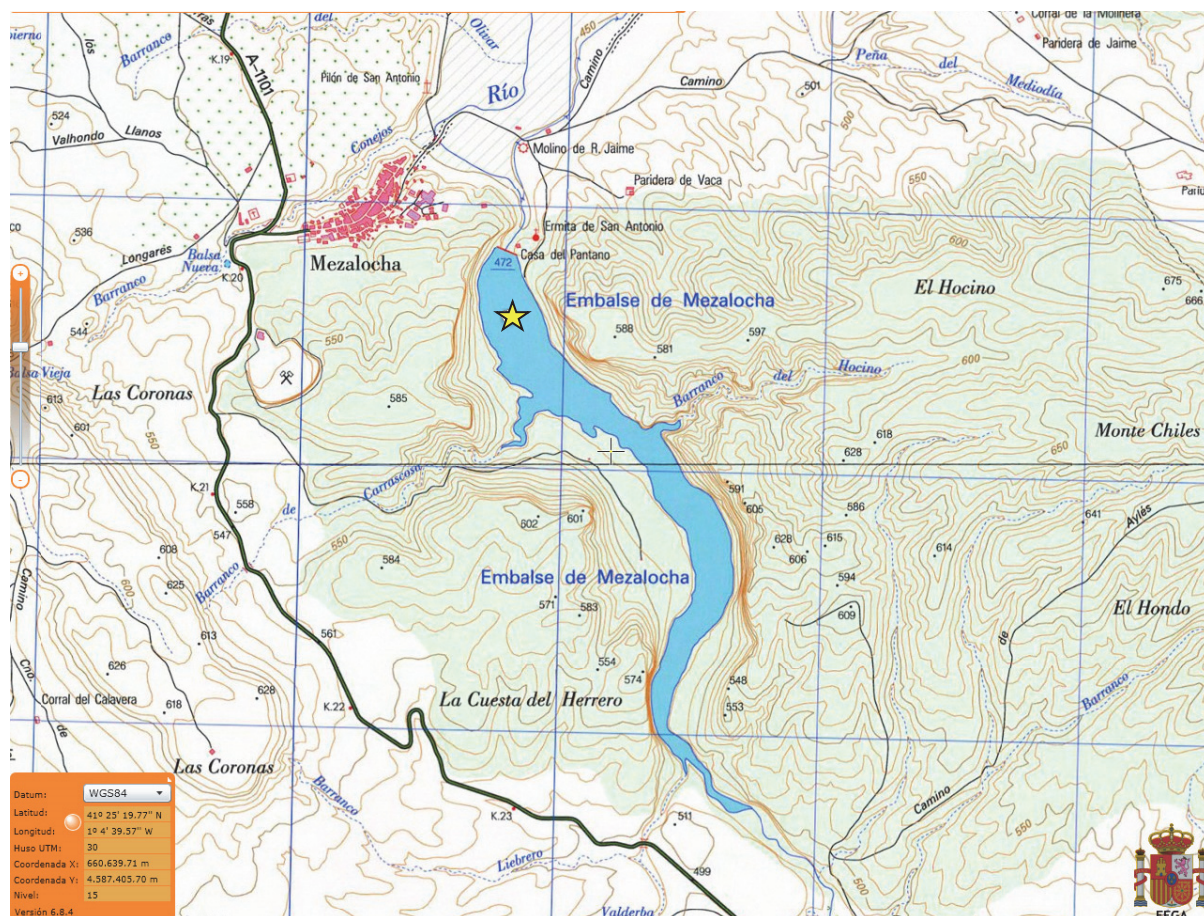


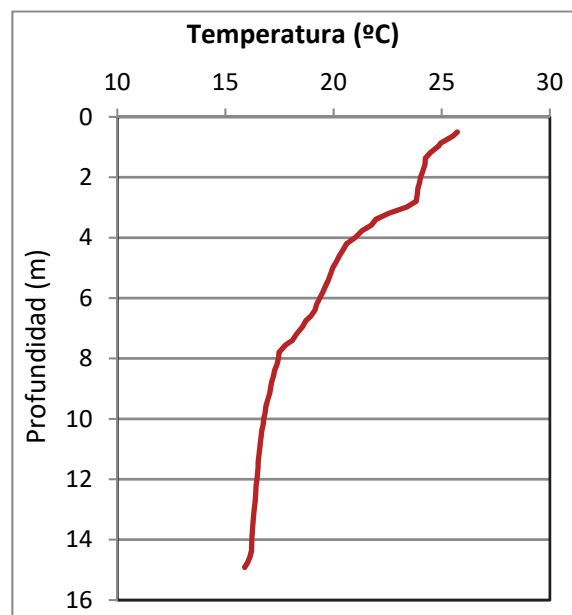
Figura 2. Localización de la estación de muestreo en el embalse.



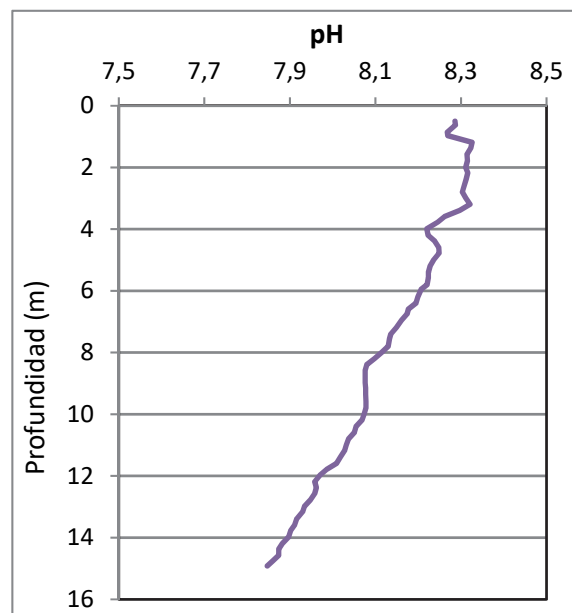
4. DIAGNÓSTICO DE LA SITUACIÓN ACTUAL

4.1. Características físico-químicas de las aguas

De los resultados obtenidos se desprenden las siguientes apreciaciones:

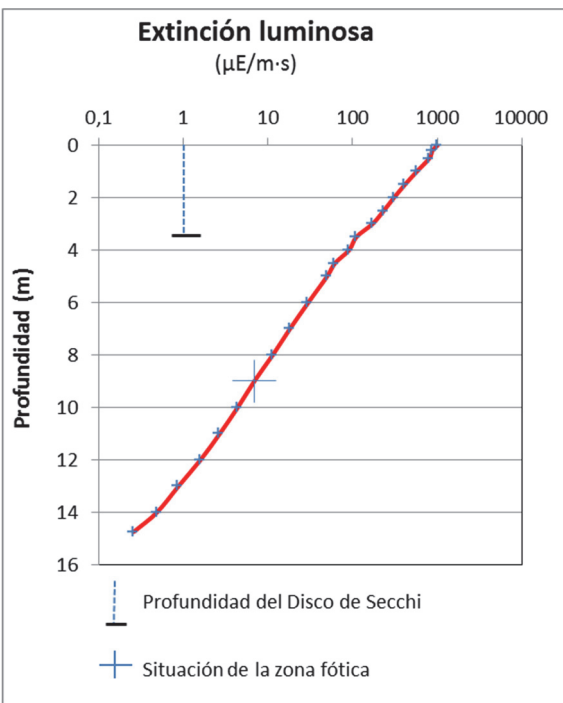


La temperatura del agua oscila entre los 16,13 °C en el fondo y los 25,54 °C -máximo registrado en superficie-. En el momento del muestreo (Julio 2018) la termoclina se sitúa entre los 3 y los 8 metros de profundidad.



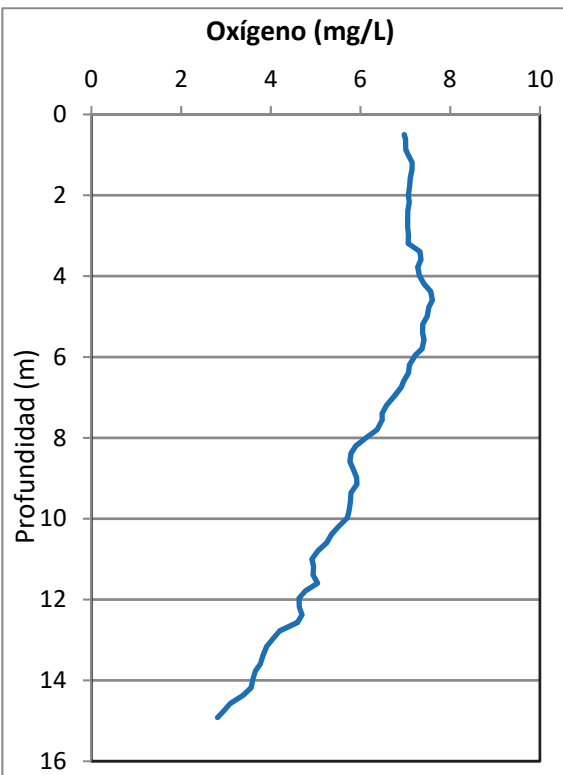
El pH del agua en superficie es de 8,29 y en el fondo de 7,87.

Figura 3. Perfiles verticales de la temperatura y el pH.



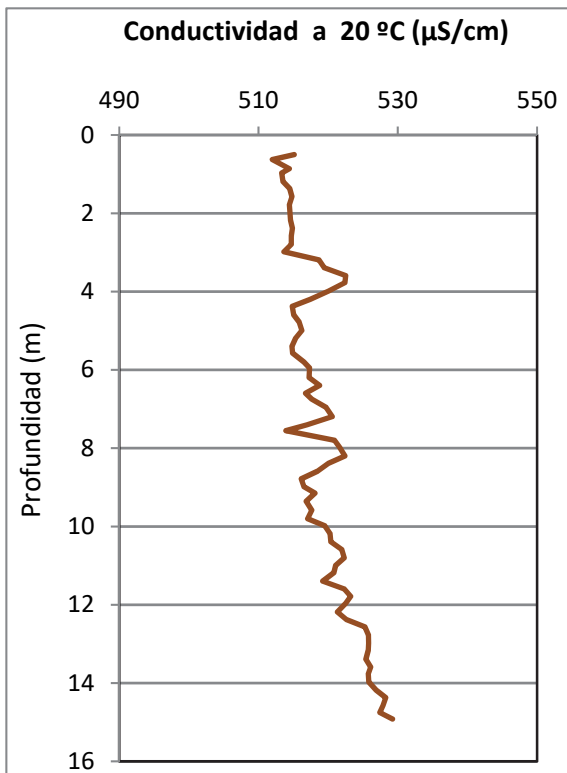
La transparencia del agua registrada en la lectura del disco de Secchi (DS) es de 3,5 m, lo que supone una profundidad de la capa fótica de 8,8 metros. Mientras que la medición mediante célula fotoeléctrica, indica una profundidad de la capa fótica de 8 m.

La turbidez media de la zona eufótica (muestra integrada a 9 m de profundidad) fue de 3,49 UAF.

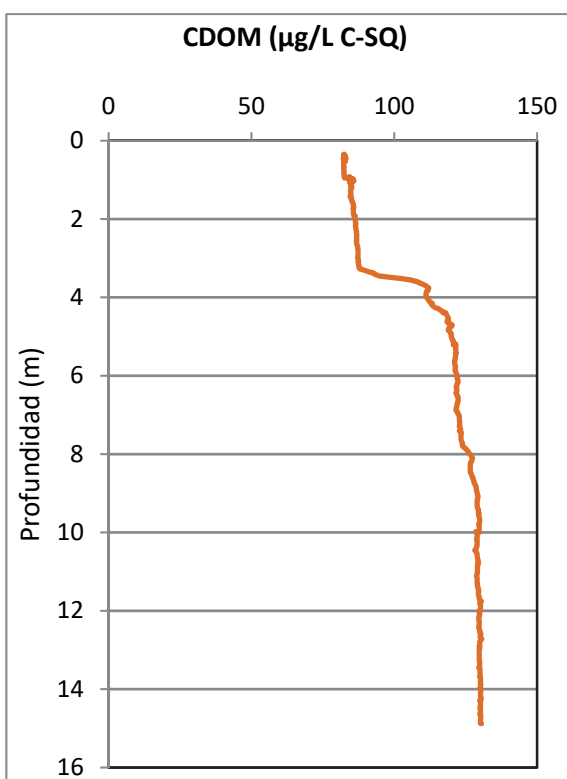


Las condiciones de oxigenación de la columna de agua en la zona epilimnética alcanzan en el muestreo una concentración media de 7,07 mg/L, mientras que la del hipolimnion fue de 4,76 mg/L. No se han detectado condiciones anóxicas (<2 mg O₂/L).

Figura 4. Perfiles verticales de la extinción luminosa y el oxígeno disuelto.



La conductividad del agua es de 511 $\mu\text{S}/\text{cm}$ en la superficie y de 527 $\mu\text{S}/\text{cm}$ en el fondo.



El CDOM del agua es de 82 QSE (equivalentes de sulfato de quinina) en la superficie y de 130 QSE en el fondo. Valores máximo y mínimo del perfil vertical respectivamente.

Figura 5. Perfil vertical de la conductividad y de la materia orgánica disuelta cromofórica.



4.2. Hidroquímica del embalse

De los resultados analíticos obtenidos en la campaña de 2018 en la muestra integrada, se desprenden los resultados de la tabla 2.

Tabla 2. Concentración de los diferentes nutrientes analizados en la muestra integrada.

| PARÁMETRO | UNIDAD | VALOR |
|--|------------------------|-------|
| PROFUNDIDAD CAPA FÓTICA | m | 9,0 |
| AMONIO | mg NH ₄ /L | 0,112 |
| FÓSFORO TOTAL | µg P/L | 8,06 |
| FÓSFORO SOLUBLE | µg P/L | 1,13 |
| NIO (NO ₃ + NO ₂) | mg N/L | 4,16 |
| NITRÓGENO TOTAL | mg N/L | 4,59 |
| SÍLICE | mg SiO ₂ /L | 10,64 |
| ALCALINIDAD | meq/L | 2,68 |



4.3. Fitoplancton y concentración de clorofila.

En el análisis realizado se han identificado un total de 25 especies, distribuidas en los siguientes grupos taxonómicos:

| | |
|-------------------|----|
| BACILLARIOPHYCEAE | 6 |
| CHRYSTOPHYCEAE | 2 |
| XANTHOPHYCEAE | 1 |
| CHLOROPHYCEAE | 12 |
| CRYPTOPHYCEAE | 3 |
| DINOPHYCEAE | 1 |

La estructura y composición de la comunidad de fitoplancton se resume en la tabla 3:

Tabla 3. Estructura y composición de la comunidad de fitoplancton.

| PARÁMETRO | UNIDAD | VALOR |
|-----------------------------------|---------------------|------------------------------|
| Nº CELULAS TOTALES | nº cél/ml | 942,99 |
| BIOVOLUMEN TOTAL | µm ³ /ml | 369253 |
| Diversidad Shannon-Wiener | | 3,51 |
| CLASE PREDOMINANTE (DENSIDAD) | | Chlorophyceae |
| Nº células/ml | | 539,45 |
| ESPECIE PREDOMINANTE (DENSIDAD) | | <i>Phacotus lenticularis</i> |
| Nº células/ml | | 229,09 |
| CLASE PREDOMINANTE (BIOVOLUMEN) | | Cryptophyceae |
| µm ³ /ml | | 183928 |
| ESPECIE PREDOMINANTE (BIOVOLUMEN) | | <i>Cryptomonas erosa</i> |
| µm ³ /ml | | 143972 |

La concentración de clorofila fue de 2,62 µg/L en la muestra integrada (profundidad señalada en la figura 6 con una línea roja).

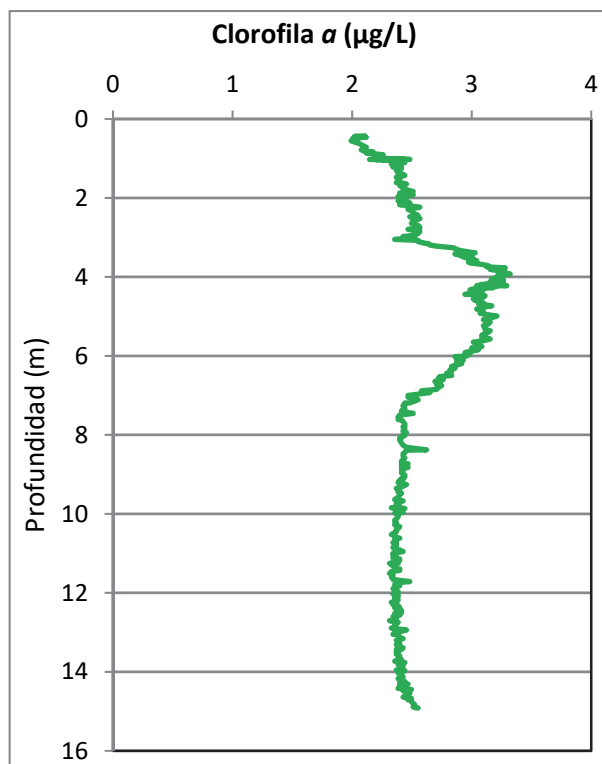


Figura 6. Perfil vertical de la clorofila a.

La composición de la población fitoplanctónica de la muestra integrada de la zona fótica indicando su abundancia y biovolumen, y la densidad cualitativa de la muestra integrada de fitoplancton del muestreo vertical con red de plancton, se muestran en la tabla 4:

Tabla 4. Composición detallada de la comunidad de fitoplancton.

| COD_EMB_LW | COMPOSICIÓN | ABUNDANCIA | BIOVOLUMEN | CUALITATIVO | |
|-------------------------------------|---|------------|------------|-------------|---------------------|
| | | | | cél./ml | µm ³ /ml |
| BACILLARIOPHYCEAE/CENTRALES/ | | | | | |
| CYCLOCETO | <i>Cyclotella ocellata</i> (=Lindavia ocellata) | 94,47 | 36.059,96 | | |
| CYCLRADIO | <i>Cyclotella radiosa</i> (=Lindavia radiosa) | 5,74 | 11.689,94 | 1 | |
| MELOVARIO | <i>Melosira varians</i> | 1,72 | 10.654,89 | 1 | |
| BACILLARIOPHYCEAE /PENNALES/ | | | | | |
| ACHNMINU0 | <i>Achnanthidium minutissimum</i> (=Achnanthes minutissima) | 2,36 | 59,04 | | |
| FRAGCAPU0 | <i>Fragilaria capucina</i> | | | 2 | |
| NAVICRYHO | <i>Navicula cryptocephala</i> | 2,36 | 1.023,92 | 1 | |
| NITZINTE0 | <i>Nitzschia intermedia</i> | | | 1 | |
| NITZPALE0 | <i>Nitzschia palea</i> | 18,89 | 7.460,86 | 1 | |
| NITZUMBO0 | <i>Nitzschia umbonata</i> | | | 1 | |
| FRAGULNA0 | <i>Ulnaria ulna</i> (=Fragilaria ulna) | | | 1 | |
| CHYSOPHYCEAE | | | | | |
| CHRYOGEN0 | <i>Chrysochromulina</i> sp. | 11,81 | 377,88 | | |
| DINODIVE0 | <i>Dinobryon divergens</i> | 3,45 | 600,28 | 2 | |
| OCHROGEN0 | <i>Ochromonas</i> sp. | | | 1 | |
| XANTHOPHYCEAE | | | | | |
| TRACMINU0 | <i>Trachydiscus minutus</i> | 129,90 | 6.801,43 | | |
| CHLOROPHYTA | | | | | |
| BOTRBRAU0 | <i>Botryococcus braunii</i> | 55,13 | 6.234,63 | | |



| COD_EMB_LW | COMPOSICIÓN | ABUNDANCIA | BIOVOLUMEN | CUALITATIVO |
|------------|--|---------------|-------------------|-------------|
| | FITOPLANCTON | cél./ml | µm³/ml | (1 al 5) |
| COELMICR0 | <i>Coelastrum microporum</i> | 9,19 | 601,33 | |
| COELPSEU0 | <i>Coelastrum pseudomicroporum</i> | | | 1 |
| COENHIND0 | <i>Coenochloris hindakii</i> | 33,06 | 1.108,02 | |
| CHLAMGEN0 | <i>Chlamydomonas</i> sp. | | | 1 |
| NEPHSUBS0 | <i>Nephrochlamys subsolitaria</i> | 4,72 | 139,12 | |
| NEPHAGAR0 | <i>Nephrocystium agardhianum</i> | 6,89 | 981,38 | |
| OOCYLACU0 | <i>Oocystis lacustris</i> | 4,59 | 269,40 | 1 |
| OOCYMARS0 | <i>Oocystis marssonii</i> | 2,36 | 534,22 | |
| PEDIBORY0 | <i>Pediastrum boryanum</i> | | | 1 |
| PEDIDUPL0 | <i>Pediastrum duplex</i> | 55,13 | 9.536,84 | 3 |
| PHACLENTO | <i>Phacotus lenticularis</i> | 229,09 | 57.577,22 | 1 |
| SCENARMA0 | <i>Scenedesmus armatus</i> (=Desmodesmus armatus) | 2,30 | 86,59 | |
| SCENBICA0 | <i>Scenedesmus bicaudatus</i> | 14,17 | 534,22 | |
| SCHRSETI0 | <i>Schroederia setigera</i> | 122,81 | 7.877,30 | 1 |
| SPHAPLAN0 | <i>Sphaerocystis planctonica</i> | | | 1 |
| | CRYPTOPHYCEAE | | | |
| CRYPEROS0 | <i>Cryptomonas erosa</i> | 42,51 | 143.972,72 | 1 |
| CRYPOVATO | <i>Cryptomonas ovata</i> | 21,26 | 29.627,04 | |
| PLAGLACU0 | <i>Plagioselmis</i> (=Rhodomonas) <i>lacustris</i> | 68,49 | 10.328,28 | |
| | DINOPHYCEAE | | | |
| CERAHIRU0 | <i>Ceratium hirundinella</i> | 0,57 | 25.116,90 | 1 |
| | EUGLENOPHYCEAE | | | |
| EUGLEGEN0 | <i>Euglena</i> sp. | | | 1 |
| | TOTALES BACILLARIOPHYCEAE | 125,55 | 66.948,61 | |
| | TOTALES CHRYSOPHYCEAE | 15,25 | 978,17 | |
| | TOTALES XANTHOPHYCEAE | 129,90 | 6.801,43 | |
| | TOTALES CHLOROPHYTA | 539,45 | 85.480,27 | |
| | TOTALES CRYPTOPHYCEAE | 132,26 | 183.928,04 | |
| | TOTALES DINOPHYCEAE | 0,57 | 25.116,90 | |
| | TOTALES ALGAS | 942,99 | 369.253,42 | |

Nota: Entre paréntesis se cita el anterior nombre de la especie.

| Clases de abundancia | % de presencia |
|----------------------|----------------|
| 1 | <9 |
| 2 | 10-24 |
| 3 | 25-60 |
| 4 | 61-99 |
| 5 | >99 |

4.4. Zooplancton

En el análisis de zooplancton de las muestras del embalse de Mezalocha se han identificado un total de 11 especies, distribuidas en los siguientes grupos taxonómicos:

- Cladocera 3
- Copepoda 4
- Rotifera 4

La estructura y composición de la comunidad de zooplancton se resume en la tabla 5:

Tabla 5. Estructura y composición de la comunidad de zooplancton.

| PARÁMETRO | UNIDAD | VALOR |
|---|---------------------------|----------------------------------|
| PROFUNDIDAD | m | 4,0 |
| DENSIDAD TOTAL | individuos/L | 349,81 |
| BIOMASA TOTAL | µg/L | 216,35 |
| Diversidad Shannon-Wiener | | 2,14 |
| CLASE PREDOMINANTE (DENSIDAD) | | Rotíferos |
| individuos/L | | 221,54 |
| ESPECIE PREDOMINANTE (DENSIDAD) | | <i>Polyarthra major</i> |
| individuos/L | | 183,08 |
| CLASE PREDOMINANTE (BIOMASA) | | Cladóceros |
| µg/L | | 96,92 |
| ESPECIE PREDOMINANTE (BIOMASA) | | <i>Copidodiaptomus numidicus</i> |
| µg/L | | 84,19 |
| COLUMNAS AGUA INTEGRADA (red vertical) | | 0 - 14 m |
| CLADÓCEROS: 30,86 % | COPÉPODOS: 25,31 % | ROTÍFEROS: 43,83 % |



La composición detallada de la población zooplanctónica presente en la muestra cuantitativa de zooplancton indicando la densidad y biomasa, y el porcentaje de las especies presentes en la muestra integrada de la red vertical, se muestran en la tabla siguiente:

Tabla 6. Composición detallada de la comunidad de zooplancton.

| CÓDIGO | COMPOSICIÓN | ABUNDANCIA | BIOMASA | PORCENTAJE |
|-------------------------|----------------------------------|------------|---------|------------|
| TAXÓN | ZOOPLANCTON | Ind./L | mg/L | (1 al 5) |
| CLADÓCEROS | | | | |
| CERIPULC0 | <i>Ceriodaphnia pulchella</i> | 0,77 | 0,92 | 1 |
| DAPHCUCU0 | <i>Daphnia cucullata</i> | 26,15 | 78,46 | 3 |
| DAPHLONG0 | <i>Daphnia longispina</i> | 4,62 | 17,54 | 1 |
| COPÉPODOS | | | | |
| ACANAMERO0 | <i>Acanthocyclops americanus</i> | 0,77 | 1,89 | 1 |
| COPINUMI0 | <i>Copidodiaptomus numidicus</i> | 63,08 | 84,19 | 2 |
| CYCLVICI0 | <i>Cyclops vicinus</i> | 0,58 | 1,44 | 1 |
| CYCLOPFAM | Fam. Ciclopidae | 32,31 | 5,54 | 2 |
| ROTÍFEROS | | | | |
| KERACOCHO0 | <i>Keratella cochlearis</i> | | | 1 |
| KERAQUAD0 | <i>Keratella quadrata</i> | 7,69 | 0,96 | 1 |
| POLYEURI0 | <i>Polyarthra euriptera</i> | | | 1 |
| POLYLUMI0 | <i>Polyarthra luminosa</i> | 27,69 | 1,41 | 1 |
| POLYMAJO0 | <i>Polyarthra major</i> | 183,08 | 23,80 | 3 |
| POMPSULC0 | <i>Pompholyx sulcata</i> | 3,08 | 0,18 | |
| Total Cladóceros | | 31,54 | 96,92 | |
| Total Copépodos | | 96,73 | 93,07 | |
| Total Rotíferos | | 221,54 | 26,36 | |
| Total | | 349,81 | 216,35 | |

Nota: Entre paréntesis se cita el anterior nombre de la especie.

| Clases de abundancia | % de presencia |
|----------------------|----------------|
| 1 | <9 |
| 2 | 10-24 |
| 3 | 25-60 |
| 4 | 61-99 |
| 5 | >99 |



5. DIAGNÓSTICO DEL GRADO TRÓFICO

Se han considerado los indicadores especificados en la tabla 7 para los valores medios en el embalse, estableciéndose el estado trófico global del embalse según la metodología descrita en la sección 5 de la MEMORIA DEL ESTUDIO.

Tabla 7. Parámetros indicadores y rangos de estado trófico.

| Parámetros Estado Trófico | Ultraoligotrófico | Oligotrófico | Mesotrófico | Eutrófico | Hipereutrófico |
|--|-------------------|------------------|------------------|------------------|-----------------|
| Concentración P ($\mu\text{g P/L}$) | 0-4 | 4-10 | 10-35 | 35-100 | >100 |
| Disco de Secchi (m) | >6 | 6-3 | 3-1,5 | 1,5-0,7 | <0,7 |
| Clorofila a ($\mu\text{g/L}$) epilimnion | 0-1 | 1-2,5 | 2,5-8 | 8,0-25 | >25 |
| Densidad algal (cel./ml) | <100 | 100-1000 | 1000-10000 | 10000-100000 | >100000 |
| VALOR PROMEDIO FINAL | < 1,8 | 1,8 – 2,6 | 2,6 – 3,4 | 3,4 – 4,2 | > 4,2 |

En la tabla 8 se incluye el estado trófico indicado por cada uno de los parámetros, así como la catalogación de la masa de agua según la valoración de este estado trófico final.

Tabla 8. Diagnóstico del estado trófico del embalse de Mezalocha.

| INDICADOR | VALOR | ESTADO TRÓFICO |
|-----------------------------|-------------|---------------------|
| P TOTAL | 8,06 | Oligotrófico |
| CLOROFILA a | 2,62 | Mesotrófico |
| DISCO SECCCHI | 3,50 | Oligotrófico |
| DENSIDAD ALGAL | 943 | Oligotrófico |
| ESTADO TROFICO FINAL | 2,25 | OLIGOTRÓFICO |

Atendiendo a tres de los cuatro criterios seleccionados, fósforo total (PT), transparencia (DS) y densidad algal califican el embalse como oligotrófico. Mientras que la concentración de clorofila a determina el embalse como mesotrófico. Combinando todos los indicadores el estado trófico final para el embalse de MEZALOCHA ha resultado ser **OLIGOTRÓFICO**.

6. DIAGNOSTICO DEL POTENCIAL ECOLÓGICO

a) Aproximación experimental (*PEexp*)

Se han considerado los indicadores especificados en la tabla 9, estableciéndose el potencial ecológico del embalse según la metodología descrita en la sección 6.3, apartado a) de la MEMORIA DEL ESTUDIO.

Tabla 9. Parámetros y rangos para la determinación del potencial ecológico experimental.

| Indicador | Elementos | Parámetros | Bueno o superior | Moderado | Deficiente | Malo | |
|------------------------------------|---------------|---|-------------------|----------------------------------|----------------------------------|------------------|-------|
| Biológico | Fitoplancton | Densidad algal (cel/ml) | < 10 ³ | 10 ³ -10 ⁴ | 10 ⁴ -10 ⁵ | >10 ⁵ | |
| | | Biomasa algal, Clorofila a (µg/L) | < 2,5 | 2,5-8 | 8,0-25 | >25 | |
| | | Biovolumen algal (mm ³ /L) | < 0,5 | 0,5-2 | 2-8 | >8 | |
| | | <i>Phytoplankton Assemblage Index (Q)</i> | > 3 | 2-3 | 1-2 | <1 | |
| | | <i>Trophic Index (TI)</i> | < 2,79 | 2,79-3,52 | 3,52-4,25 | >4,25 | |
| | | <i>Phytoplankton Trophic Index (PTI)</i> | > 3,4 | 2,6-3,4 | 1,8-2,6 | <1,8 | |
| | | <i>Phytoplankton Reservoir Trophic Index (PRTI)</i> | < 6,6 | 6,6-9,4 | 9,4-12,2 | >12,2 | |
| | Zooplancton | <i>Zooplankton Reservoir Trophic Index (ZRTI)</i> | < 6,6 | 6,6-9,4 | 9,4-12,2 | >12,2 | |
| INDICADOR BIOLÓGICO (1) | | | < 2,6 | 2,6 - 3,4 | 3,4 – 4,2 | > 4,2 | |
| Indicador | Elementos | Parámetros | Muy bueno | Bueno | Moderado | Deficiente | Malo |
| Fisicoquímico | Transparencia | Disco de Secchi (m) | >6 | 3-6 | 1, 5 -3 | 0, 7 -1,5 | <0, 7 |
| | Oxigenación | Concentración O ₂ (mg O ₂ /L) | >8 | 8-6 | 6-4 | 4-2 | <2 |
| | Nutrientes | Concentración de PT (µg P/L) | 0-4 | 4-10 | 10-35 | 35-100 | >100 |
| INDICADOR FISICOQUÍMICO (2) | | | Muy bueno | Bueno | Moderado | | |
| | | | < 1,6 | 1,6 – 2,4 | > 2,4 | | |

(1) La valoración del indicador biológico se obtiene asignando la calificación del elemento de menor puntuación (fitoplancton o zooplancton) o peor calidad, según la metodología *one out, all out*.

(2) La valoración del indicador fisicoquímico se obtiene asignando la calificación del elemento de menor puntuación o peor calidad, según la metodología *one out, all out*.



La combinación de los dos indicadores, fisicoquímico y biológico, para la obtención del potencial ecológico experimental final sigue el esquema de decisiones indicado en la tabla 10:

Tabla 10. Combinación de los indicadores.

| Indicador Biológico | Indicador Fisicoquímico | Potencial Ecológico Experimental |
|---------------------|-------------------------|----------------------------------|
| Bueno o superior | Muy bueno | Bueno o superior |
| Bueno o superior | Bueno | Bueno o superior |
| Bueno o superior | Moderado | Moderado |
| Moderado | Indistinto | Moderado |
| Deficiente | Indistinto | Deficiente |
| Malo | Indistinto | Malo |

En la tabla 11 se incluye el potencial indicado por cada uno de los parámetros e indicadores, así como la catalogación de la masa de agua según el potencial ecológico final.

Tabla 11. Diagnóstico del potencial ecológico del embalse de Mezalocha.

| Indicador | Elementos | Parámetros | Valor | Potencial |
|--------------------------------|---------------|--|-----------------|------------------|
| Biológico | Fitoplancton | Densidad algal (cel./ml) | 743 | Bueno o superior |
| | | Clorofila a ($\mu\text{g}/\text{L}$) | 2,62 | Moderado |
| | | Biovolumen algal (mm^3/L) | 0,37 | Bueno o superior |
| | | <i>Phytoplankton Assemblage Index (Q)</i> | 3,55 | Bueno o superior |
| | | <i>Phytoplankton Trophic Index (PTI)</i> | 3,21 | Moderado |
| | | <i>Trophic Index (TI)</i> | 2,91 | Moderado |
| | | <i>Phytoplankton Reservoir Trophic Index (PRTI)</i> | 8,90 | Moderado |
| | Zooplancton | <i>Zooplankton Reservoir Trophic Index (ZRTI)</i> | 7,02 | Moderado |
| INDICADOR BIOLÓGICO | | | 3 | MODERADO |
| Fisicoquímico | Transparencia | Disco de Secchi(m) | 3,50 | Bueno |
| | Oxigenación | O_2 hipolimnética (mg O_2/L) | 4,76 | Moderado |
| | Nutrientes | Concentración de PT ($\mu\text{g P/L}$) | 8,06 | Bueno |
| INDICADOR FISICOQUÍMICO | | | 3 | MODERADO |
| POTENCIAL ECOLÓGICO | | | MODERADO | |



b) Aproximación normativa (*PEnorm*)

Se han considerado los indicadores, los valores de referencia y los límites de clase B⁺/M (Bueno o superior/Moderado), M/D (Moderado/Deficiente) y D/M (Deficiente/Malo), así como sus ratios de calidad ecológica (RCE), especificados en las tablas 12 y 13, estableciéndose el potencial ecológico del embalse según la metodología descrita en la sección 6.3, apartado b) de la MEMORIA DEL ESTUDIO.

Tabla 12. Valores de referencia propios del tipo (VR_t) y límites de cambio de clase de potencial ecológico de los indicadores de los elementos de calidad de embalses (RD 817/2015).

| Tipo | Elemento | Parámetro | Indicador | VR _t | B ⁺ /M (RCE) | M/D (RCE) | D/M (RCE) |
|---------|--------------|-------------|-------------------------------|-----------------|----------------------------|--------------|--------------|
| Tipo 1 | Fitoplancton | Biomasa | Clorofila a mg/m ³ | 2,00 | 0,211 | 0,14 | 0,07 |
| | | | Biovolumen mm ³ /L | 0,36 | 0,189 | 0,126 | 0,063 |
| | | Composición | Índice de Catalán (IGA) | 0,10 | 0,974 | 0,649 | 0,325 |
| | | | Porcentaje de cianobacterias | 0,00 | 0,908 | 0,607 | 0,303 |
| Tipo 7 | Fitoplancton | Biomasa | Clorofila a mg/m ³ | 2,60 | 0,433 | 0,287 | 0,143 |
| | | | Biovolumen mm ³ /L | 0,76 | 0,362 | 0,24 | 0,12 |
| | | Composición | Índice de Catalán (IGA) | 0,61 | 0,982 | 0,655 | 0,327 |
| | | | Porcentaje de cianobacterias | 0,00 | 0,715 | 0,48 | 0,24 |
| Tipo 9 | Fitoplancton | Biomasa | Clorofila a mg/m ³ | 2,60 | 0,433 | 0,287 | 0,143 |
| | | | Biovolumen mm ³ /L | 0,76 | 0,362 | 0,24 | 0,12 |
| | | Composición | Índice de Catalán (IGA) | 0,61 | 0,982 | 0,655 | 0,327 |
| | | | Porcentaje de cianobacterias | 0,00 | 0,715 | 0,48 | 0,24 |
| Tipo 10 | Fitoplancton | Biomasa | Clorofila a mg/m ³ | 2,60 | 0,433 | 0,287 | 0,143 |
| | | | Biovolumen mm ³ /L | 0,76 | 0,362 | 0,24 | 0,12 |
| | | Composición | Índice de Catalán (IGA) | 0,61 | 0,982 | 0,655 | 0,327 |
| | | | Porcentaje de cianobacterias | 0,00 | 0,715 | 0,48 | 0,24 |
| Tipo 11 | Fitoplancton | Biomasa | Clorofila a mg/m ³ | 2,60 | 0,433 | 0,287 | 0,143 |
| | | | Biovolumen mm ³ /L | 0,76 | 0,362 | 0,24 | 0,12 |
| | | Composición | Índice de Catalán (IGA) | 0,61 | 0,982 | 0,655 | 0,327 |
| | | | Porcentaje de cianobacterias | 0,00 | 0,715 | 0,48 | 0,24 |
| Tipo 12 | Fitoplancton | Biomasa | Clorofila a mg/m ³ | 2,40 | 0,195 | 0,13 | 0,065 |
| | | | Biovolumen mm ³ /L | 0,63 | 0,175 | 0,117 | 0,058 |
| | | Composición | Índice de Catalán (IGA) | 1,50 | 0,929 | 0,619 | 0,31 |
| | | | Porcentaje de cianobacterias | 0,10 | 0,686 | 0,457 | 0,229 |
| Tipo 13 | Fitoplancton | Biomasa | Clorofila a mg/m ³ | 2,10 | 0,304 | 0,203 | 0,101 |
| | | | Biovolumen mm ³ /L | 0,43 | 0,261 | 0,174 | 0,087 |
| | | Composición | Índice de Catalán (IGA) | 1,10 | 0,979 | 0,653 | 0,326 |
| | | | Porcentaje de cianobacterias | 0,00 | 0,931 | 0,621 | 0,31 |



Tabla 13. Parámetros, rangos del RCE y valores para la determinación del potencial ecológico normativo.

| Indicador | Elementos | Parámetros | RANGOS DEL RCE | | | | |
|--------------------------------|---------------|---|-------------------|---------------|---------------|------------|--|
| | | | Bueno o superior | Moderado | Deficiente | Malo | |
| Biológico | Fitoplancton | Clorofila a ($\mu\text{g/L}$) | $\geq 0,433$ | 0,432 – 0,287 | 0,286 – 0,143 | < 0,143 | |
| | | Biovolumen algal (mm^3/L) | $\geq 0,362$ | 0,361 – 0,24 | 0,23 – 0,12 | < 0,12 | |
| | | Índice de Catalán (IGA) | $\geq 0,982$ | 0,981 – 0,655 | 0,654 – 0,327 | < 0,327 | |
| | | Porcentaje de cianobacterias | $\geq 0,715$ | 0,714 – 0,48 | 0,47 – 0,24 | < 0,24 | |
| | | | Bueno o superior | Moderado | Deficiente | Malo | |
| INDICADOR BIOLÓGICO | | | > 0,6 | 0,4-0,6 | 0,2-0,4 | < 0,2 | |
| | | | | | | | |
| | | | RANGOS DE VALORES | | | | |
| Indicador | Elementos | Parámetros | Muy bueno | Bueno | Moderado | Deficiente | |
| Fisicoquímico | Transparencia | Disco de Secchi (m) | >6 | 3-6 | 1, 5 -3 | 0, 7 -1,5 | |
| | Oxigenación | O ₂ hipolimnética (mg O ₂ /L) | >8 | 8-6 | 6-4 | 4-2 | |
| | Nutrientes | Concentración de PT ($\mu\text{g P/L}$) | 0-4 | 4-10 | 10-35 | 35-100 | |
| | | | Muy bueno | Bueno | Moderado | | |
| INDICADOR FISICOQUÍMICO | | | < 1,6 | 1,6 – 2,4 | > 2,4 | | |

La combinación de los dos indicadores, fisicoquímico y biológico, para la obtención del potencial ecológico normativo final sigue el esquema de decisiones indicado en la tabla 14:

Tabla 14. Combinación de los indicadores.

| Indicador Biológico | Indicador Fisicoquímico | Potencial Ecológico Experimental |
|---------------------|-------------------------|----------------------------------|
| Bueno o superior | Muy bueno | Bueno o superior |
| Bueno o superior | Bueno | Bueno o superior |
| Bueno o superior | Moderado | Moderado |
| Moderado | Indistinto | Moderado |
| Deficiente | Indistinto | Deficiente |
| Malo | Indistinto | Malo |



En la tabla 15 se incluye el potencial indicado por cada uno de los parámetros, así como la catalogación de la masa de agua según el potencial ecológico final (*PEnorm*) tras pasar el filtro del indicador fisicoquímico.

Tabla 15. Diagnóstico del potencial ecológico (*PEnorm*) del embalse de Mezalocha.

| Indicador | Elementos | Parámetro | Indicador | Valor | RCE | RCET | <i>PEnorm</i> | | |
|--|---------------|---|---------------------------------------|-------|-----------------|-------------------------|------------------|--|--|
| Biológico | Fitoplancton | Biomasa | Clorofila a (µg/L) | 2,62 | 0,99 | 0,99 | Bueno o superior | | |
| | | | Biovolumen algal (mm ³ /L) | 0,37 | 2,06 | 1,66 | Bueno o superior | | |
| | | | Media | | | 1,33 | | | |
| | | Composición | Índice de Catalán (IGA) | 0,38 | 1,001 | 1,01 | Bueno o superior | | |
| | | | Porcentaje de cianobacterias | 0,00 | 1,00 | 1,00 | Bueno o superior | | |
| | | | Media | | | 1,01 | | | |
| Media global | | | | | | 1,17 | | | |
| INDICADOR BIOLÓGICO | | | | | 2 | BUENO O SUPERIOR | | | |
| | | | | | | | | | |
| Indicador | Elementos | Indicador | | Valor | | | <i>PEnorm</i> | | |
| Fisicoquímico | Transparencia | Disco de Secchi (m) | | 3,50 | | | Bueno | | |
| | Oxigenación | O ₂ hipolimnética (mg O ₂ /L) | | 4,76 | | | Moderado | | |
| | Nutrientes | Concentración de PT (µg P/L) | | 8,06 | | | Bueno | | |
| INDICADOR FISICOQUÍMICO | | | | | 3 | MODERADO | | | |
| POTENCIAL ECOLÓGICO <i>PEnorm</i> | | | | | MODERADO | | | | |



ANEXO I. REPORTAJE FOTOGRÁFICO



Figura 7. Vista de la presa del embalse



Figura 8. Vista de la cola del embalse